

文章编号 1004-924X(2013)01-0020-06

纳米半导体复合薄膜的非线性光学性质及 其在激光器中的应用

王加贤*, 林正怀, 张培, 吴志军

(华侨大学 信息科学与工程学院, 福建 厦门 361021)

摘要:采用射频磁控溅射技术制备了 Ge 掺二氧化硅($\text{Ge}-\text{SiO}_2$)和 Ge, Al 共掺二氧化硅($\text{Ge}/\text{Al}-\text{SiO}_2$)两种复合薄膜, 并进行了热退火处理形成了纳米 Ge 镶嵌结构。通过紫外-可见吸收谱测量, 确定了两种薄膜中纳米 Ge 的光学带隙, 并采用皮秒激光 Z-扫描技术研究了薄膜的非线性光学性质。测试结果显示, 在 1 064 nm 激发下得到的 $\text{Ge}-\text{SiO}_2$ 和 $\text{Ge}/\text{Al}-\text{SiO}_2$ 薄膜的非线性吸收系数分别为 $-1.23 \times 10^{-7} \text{ m/V}$ 和 $4.35 \times 10^{-8} \text{ m/W}$, 前者为饱和吸收, 而后者为双光子吸收。把两种薄膜作为可饱和吸收体均可实现 $1.06 \mu\text{m}$ 激光的被动调 Q 和被动锁模运转。与 $\text{Ge}-\text{SiO}_2$ 薄膜比较, 采用 $\text{Ge}/\text{Al}-\text{SiO}_2$ 薄膜可以获得较窄的调 Q 脉冲和锁模脉冲。最后, 理论分析和实验比较了两种薄膜实现被动调 Q 和锁模的机理。

关 键 词: 半导体复合薄膜; $\text{Ge}-\text{SiO}_2$ 薄膜; $\text{Ge}/\text{Al}-\text{SiO}_2$ 薄膜; 非线性吸收; 被动调 Q; 被动锁模

中图分类号: O484.41; TN248.1 **文献标识码:** A **doi:** 10.3788/OPE.20132101.0020

Nonlinear optical properties of nanometer semiconductor compound films and their applications to lasers

WANG Jia-xian*, LIN Zheng-huai, ZHANG Pei, WU Zhi-jun

(College of Information Science and Engineering, Huaqiao University, Xiamen 361021, China)

* Corresponding author, E-mail: wangjx@hqu.edu.cn

Abstract: The $\text{Ge}-\text{SiO}_2$ and $\text{Ge}/\text{Al}-\text{SiO}_2$ compound films were prepared by Radio-Frequency (RF) magnetron sputtering technique, and then Ge nanocrystals were obtained in the films by a thermal annealing treatment. The optical bandgaps of the Ge nanocrystals in the two films were calculated by measured UV-visible absorption spectral data, and the nonlinear optical properties of the two compound films were investigated by using picosecond laser Z-scan technique. Experiments show that the nonlinear absorption coefficients of $\text{Ge}-\text{SiO}_2$ and $\text{Ge}/\text{Al}-\text{SiO}_2$ films at 1 064 nm lasing are $-1.23 \times 10^{-7} \text{ m/V}$ and $4.35 \times 10^{-8} \text{ m/W}$, respectively. The former corresponds to the saturable absorption, while the latter corresponds to the two-photon absorption. Furthermore, both the $\text{Ge}-\text{SiO}_2$ and $\text{Ge}/\text{Al}-\text{SiO}_2$ films can be as the saturable absorbers to implement the passive Q-switching and mode-locking operation for a $1.06 \mu\text{m}$ laser. Obtained experimental results demonstrate that $\text{Ge}/\text{Al}-\text{SiO}_2$ film could achieve narrower Q-switched pulse and mode-locked pulse than that of the $\text{Ge}-\text{SiO}_2$ film. Finally, it discusses the

收稿日期: 2012-09-03; 修订日期: 2012-10-29.

基金项目: 国家自然科学基金重点项目(No. 60838003); 福建省自然科学基金资助项目(No. 2012J01277); 福建省青年科技人才创新基金资助项目(No. 2001J030)

mechanisms of passive Q-switching and passive mode-locking with the two films.

Key words: semiconductor film; Ge/SiO₂ film; Ge/Al-SiO₂ film; nonlinear absorption; passive Q-switching; passive mode-locking

1 引言

半导体/绝缘体纳米晶粒镶嵌复合薄膜由于其嵌埋的晶粒受到介质势垒的强限域作用,表现出独特的发光特性和增强的三阶非线性光学效应^[1-4]。已有学者对纳米 Si 或纳米 Ge 晶粒镶嵌材料的光发射、光吸收和非线性光学性质开展了研究,在计算出材料的非线性吸收系数和折射率系数的同时,分析了影响非线性光学性质的因素^[5-7],但是将其非线性吸收应用于激光器的被动调 Q 与锁模却少有报道。

本文采用射频磁控溅射与热退火技术制备了纳米 Ge 镶嵌二氧化硅(Ge-SiO₂)和纳米 Ge, Al 共掺 SiO₂(Ge/Al-SiO₂)复合薄膜,采用皮秒激光单光束 Z 扫描技术研究其三阶非线性光学性质。而后把两种薄膜作为可饱和吸收体,分别实现了 1.06 μm 激光器的被动调 Q 和被动锁模运转,并结合薄膜的非线性吸收特性,分析和比较了两种薄膜实现激光调 Q 和锁模的基本原理。

2 薄膜的制备和测试

2.1 薄膜的制备

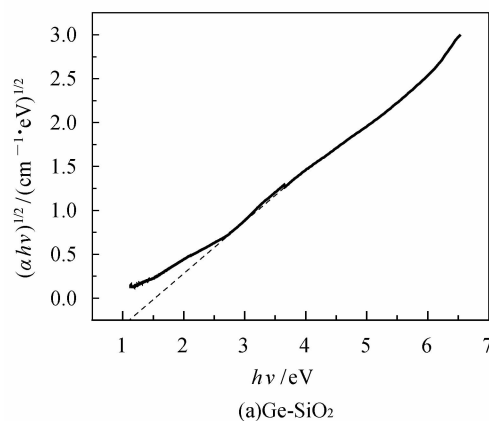
采用射频磁控溅射技术在硅片上沉积 Ge-SiO₂ 和 Ge/Al-SiO₂ 两种复合薄膜。衬底为抛光的 P 型(100)单晶 Si 片,面积为 1 cm × 2 cm,表面粗糙度 RMS 值约为 0.3 nm。溅射室本底真空度为 9.0×10^{-4} Pa, 溅射氩气的气压为 1 Pa, 溅射功率为 250 W, 薄膜厚度与溅射时间有关,由晶体振荡膜厚检测仪检测。两种薄膜的制备参数分别为:制备 Ge-SiO₂ 薄膜时,Ge 和 SiO₂ 的面积比分别为 10% 和 90%; 制备 Ge/Al-SiO₂ 薄膜时,将 Ge 片和 Al 片置于高纯度的石英靶材上,Ge, Al 和 SiO₂ 的面积比分别为 10%, 8% 和 82%; 两种薄膜的厚度均为 250 nm。

将制备好的薄膜放入管式炉中,在氮气保护

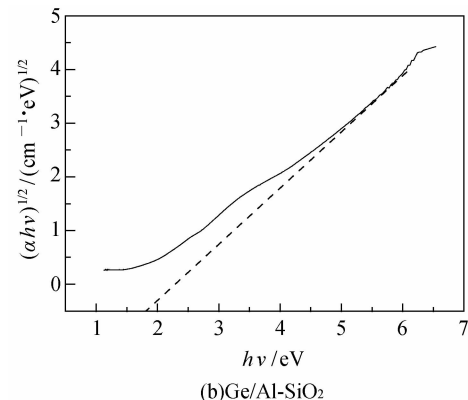
下进行高温退火处理。退火温度为 900 ℃, 退火时间均为 30 min, 从而形成纳米 Ge 镶嵌结构。

2.2 薄膜的参数测试

对薄膜进行 X 射线衍射(X-ray Diffraction, XRD)测试,结果显示,经过 900 ℃ 退火的薄膜在 $2\theta=27.5^\circ$ 上出现 Ge(111) 晶向的晶态衍射特征峰, 纳米 Ge/Al-SiO₂ 薄膜衍射峰的半高全宽比 Ge-SiO₂ 略大, 利用 Scherrer 公式确定 Ge-SiO₂ 和 Ge/Al-SiO₂ 薄膜中纳米 Ge 晶粒的平均尺寸, 分别为 6.1 nm 和 4.8 nm。实验表明, 退火温度升高, 时间延长, 形成的纳米 Ge 晶粒的平均尺寸增大, 光学带隙降低。



(a)Ge-SiO₂



(b)Ge/Al-SiO₂

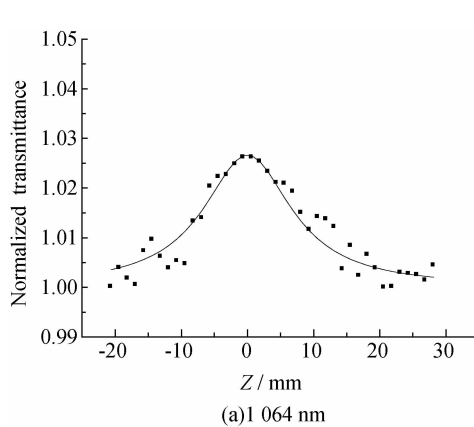
图 1 两种不同薄膜的 $(\alpha h v)^{1/2} \sim h v$ 曲线

Fig. 1 $(\alpha h v)^{1/2} - h v$ curves of two different films

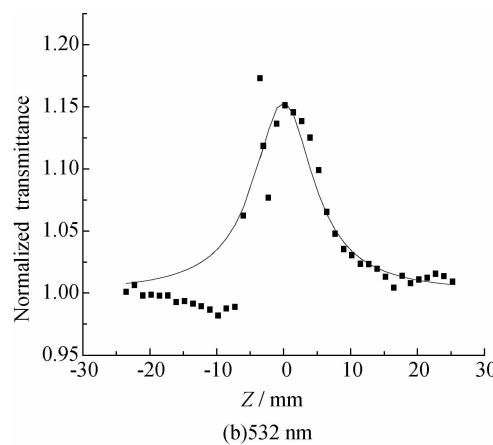
采用 Unico 公司的 UV-2102PCS 紫外-可见分光光度计测试薄膜的光吸收谱(入射光强度减

去透射和反射光强度)。由吸收谱逐点取值计算,描绘 $(\alpha h\nu)^{1/2} \sim h\nu$ 曲线(Tauc 曲线)如图 1 所示。根据 Tauc 公式^[8],确定 Ge-SiO₂ 和 Ge/Al-SiO₂ 薄膜中纳米 Ge 的光学带隙分别为 1.12 eV 和 1.81 eV。由于 Al 的掺入,在高温退火中发生了 Al+GeO_x=Ge+Al₂O₃ 反应,此过程比 Ge 的氧化靠自身热分解要容易,所以有利于纳米 Ge 的析出和 Ge 晶粒尺寸的减小。由 X 射线光电子能谱(X-ray Photoelectron Spectrometer, XPS)测试得到的铝为 Al³⁺,以 Al₂O₃ 的形式出现。根据带隙公式 $E(\text{eV})=E_{\text{bulk}}+C/R^2$ 可知,Ge/Al-SiO₂ 薄膜中的纳米 Ge 晶粒尺寸 R 较小,光学带隙较大。

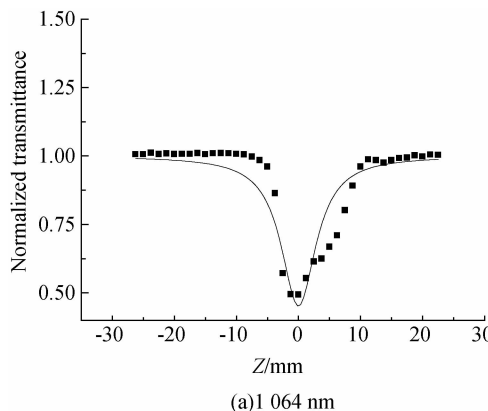
采用透射法测量薄膜对 1 064 nm 的小信号透过率 T 为 94% (扣除硅衬底的吸收),薄膜厚度为 250 nm,利用 $T=\exp(-\alpha_0 z)$,可得线性吸收系数 α_0 为 2 475/cm。



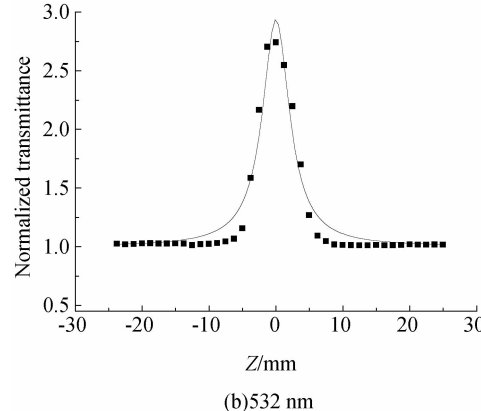
(a) 1064 nm



(b) 532 nm

图 2 Ge-SiO₂ 薄膜对不同波长激光的开孔 Z 扫描透过率曲线Fig. 2 Opened aperture Z-scan transmittance curves of Ge-SiO₂ film at different wavelength lasers

(a) 1064 nm



(b) 532 nm

图 3 Ge/Al-SiO₂ 薄膜对不同波长激光的开孔 Z 扫描透过率曲线Fig. 3 Opened aperture Z-scan transmittance curves of Ge/Al-SiO₂ film at different wavelength lasers

3 薄膜的非线性光学性质

采用单光束 Z 扫描技术测试薄膜的非线性光学性质。Nd : YAG 锁模激光器作为光源,基频光和倍频光的波长分别为 1 064 nm 及 532 nm,工作频率为 10 Hz,脉宽为 25 ps,单脉冲能量为 10 μJ 。透镜焦距为 150 mm,瑞利范围为 3.41 mm,聚焦后激光束腰半径为 34 μm ,焦点处光强为 9.0 GW/cm²,实验中未见薄膜损伤。由于条件限制,没有进行损伤阈值测试。被测薄膜沿光轴移动,薄膜厚度小于瑞利长度,可以作为薄样品处理。两种薄膜在 1 064 nm 及 532 nm 激发下

下的开孔归一化透过率曲线分别如图2和图3所示。图2和图3(b)用透过率曲线的谷值进行归一化,而图3(a)用透过率曲线的峰值进行归一化。可以看出,Ge-SiO₂薄膜在两种波长激发下的透过率曲线在焦点处均出现透过率峰值,所以非线性吸收属于饱和吸收。Ge/Al-SiO₂薄膜在532 nm激发下是饱和吸收;而在1 064 nm激发下,焦点处出现了吸收峰值。这是由于1 064 nm光子能量为1.17 eV,Ge/Al-SiO₂薄膜的光学带隙为1.81 eV,单光子能量低于光学带隙,而两个光子能量又超过光学带隙,所以对1 064 nm的非线性吸收属于双光子吸收。

薄膜的开孔Z扫描归一化透过率由下式给出^[9]:

$$T(z) \approx 1 - \frac{\beta I_0 L_{\text{eff}} / (1 + z^2/z_0^2)}{2^{3/2}}, \quad (1)$$

式中: $L_{\text{eff}} = (1 - e^{-\alpha_0 L})/\alpha_0 \approx L$ 为薄膜的有效厚度(α_0 为薄膜的线性吸收系数), I_0 为焦点($Z=0$)处光强, z_0 为瑞利距离。根据公式(1),由图2(a)和图3(a)中的数据计算,可得Ge-SiO₂薄膜和Ge/Al-SiO₂薄膜对1 064 nm的非线性吸收系数分别为 -1.23×10^{-7} m/W和 4.35×10^{-8} m/W。

薄膜的非线性光学效应来源于纳米晶粒的量子限域效应^[10]和纳米晶粒与SO₂的界面态和缺陷态^[11]。通过对两种材料的非线性吸收性质可以看出,Ge-SiO₂薄膜的光学带隙小于1 064 nm的光子能量,所以价带上的载流子只需吸收一个光子能量,然后借助声子就可跃迁到导带底附近;掺入金属Al后,由于光学带隙增大,光子能量小于光学带隙,必须吸收两个光子能量才能完成跃迁。因此,晶粒尺寸减小,光学带隙增大,是实现由饱和吸收转变为双光子吸收的根本原因。Wang K等人^[12]通过减小纳米Au的尺寸实现了饱和吸收向双光子吸收的转变,与本文所得的结论一致。

4 薄膜非线性光学效应的应用

4.1 对1.06 μm激光的被动调Q

把Ge-SiO₂和Ge/Al-SiO₂薄膜作为可饱和吸收体,先后插入LD端面泵浦的Nd:YVO₄激光器

腔内,均可实现1.06 μm激光的被动调Q。调Q脉冲波形如图4所示,采用Ge-SiO₂薄膜调Q的脉冲宽度为25 ns,Ge/Al-SiO₂薄膜调Q的脉冲宽度为12 ns。

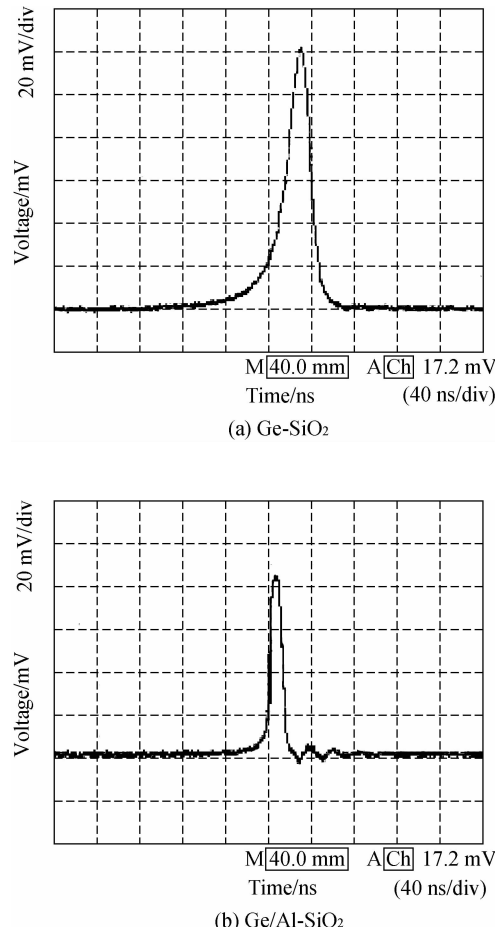


图4 采用两种薄膜作为可饱和吸收体的被动调Q激光脉冲

Fig. 4 Passively Q-switched laser pulses using two films as saturable absorbers

4.2 对1.06 μm激光的被动锁模

在腔长130 cm的闪光灯泵浦Nd:YAG激光器中,把Ge/SiO₂和Ge/Al-SiO₂薄膜作为可饱和吸收体先后插入激光器腔内,均可实现1.06 μm激光的被动锁模,锁模脉冲波形如图5所示。可以看到,Ge-SiO₂的锁模脉冲中有次脉冲出现,而Ge/Al-SiO₂的锁模脉冲中没有次脉冲,这说明Ge/Al-SiO₂薄膜比Ge-SiO₂薄膜的锁模效果要好。由自相关二次谐波法得到,Ge-SiO₂和Ge/Al-SiO₂锁模脉冲的平均脉冲宽度分别为52 ps和40 ps。

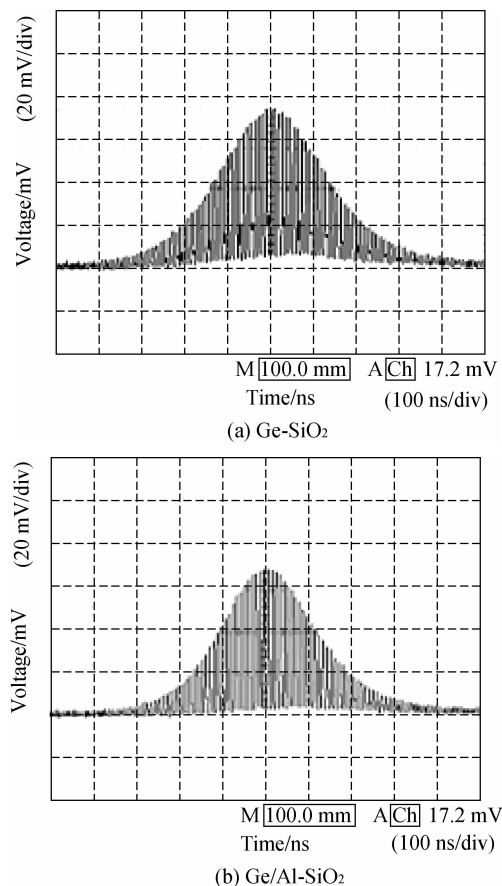


图 5 采用两种薄膜作为可饱和吸收体的被动锁模激光脉冲

Fig. 5 Passively mode-locked laser pulses using two films as saturable absorbers

5 调 Q 和锁模机理分析

纳米 Ge 晶粒受到介质势垒的三维强限域作用,其能带结构呈现准直接带隙特征。由于 1.06 μm 光子能量大于 Ge-SiO₂ 薄膜的光学带隙,所以在 1.06 μm 激光作用下,价带上的载流子可以直接跃迁到导带量子化能级上,形成较强的单光子吸收饱和。另外,纳米 Ge 镶嵌薄膜中存在着大量的界面态和缺陷态,这些由纳米 Ge 晶粒表面的原子无序、价键重构以及晶格失配等因素引起的局

域电子态,在纳米 Ge 晶粒的带隙中引入相应的能级。L. Colace 等人认为纳米 Ge-SiO₂ 复合薄膜在禁带中引入的缺陷能级的寿命为 ns 量级^[13]。价带上的载流子吸收 1.06 μm 光子能量跃迁到导带,达到吸收饱和后,导带上的载流子首先弛豫到禁带中的缺陷能级,然后跃迁返回到价带,这是 Ge-SiO₂ 薄膜实现 1.06 μm 激光调 Q 和锁模的原因。

Ge/Al-SiO₂ 薄膜中纳米 Ge 的光学带隙大于 1.06 μm 光子能量,所以价带上的载流子需要吸收两个 1.06 μm 光子能量才能跃迁到导带,这一过程是双光子吸收。缺陷态和表面态的存在对入射到 Ge/Al-SiO₂ 薄膜的 1.06 μm 激光也产生一定的吸收作用,称为次带吸收。因此,Ge/Al-SiO₂ 薄膜对 1.06 μm 的双光子吸收和次带吸收共同实现了 1.06 μm 激光的被动调 Q 和被动锁模。由于双光子吸收是非共振的非线性过程,响应时间很快;同时又因为金属 Al 具有还原性,在退火过程中可以将 Si 或者 Ge 的氧化物中的部分氧原子夺走。与 Ge-SiO₂ 薄膜比较,产生的氧空位可以引入更多的缺陷态^[14],而缺陷态的引入在一定程度上减小了载流子的寿命,使得可饱和吸收体的恢复时间缩短^[15],所以可以得到较窄的调 Q 脉冲和锁模脉冲。

6 结 论

本文采用射频磁控反应溅射技术和热退火处理制备了纳米 Ge-SiO₂ 复合薄膜和纳米 Ge/Al-SiO₂ 复合薄膜。根据皮秒激光 Z 扫描的实验结果得到了薄膜的非线性吸收系数。结果表明,在 1 064 nm 激发下,Ge-SiO₂ 和 Ge/Al-SiO₂ 薄膜的非线性吸收分别为饱和吸收和双光子吸收。把薄膜作为可饱和吸收体,分别实现了 1.06 μm 激光的被动调 Q 和被动锁模,并根据实验结果分析和比较了两种薄膜调 Q 和锁模的产生机制。

本文所做工作可为纳米 Si 基材料的非线性光学效应在光通讯、全光开关、光限幅等非线性光集成器件中的应用起到一定的作用。

参考文献:

- [1] KUMBHAKAR P. Observation of nonlinear optical effects in semiconductor quantum dot materials using Nd:YAG radiation [J]. *Opt. Precision Eng.*, 2011, 19(2): 228-236.

- [2] LI H P, KAM C H, LAM Y L, et al.. Nonlinear optical response of Ge nanocrystals in silica matrix with excitation of femtosecond pulses [J]. *Appl. Phys. B: Lasers Opt.*, 2001, 72 (5): 611-615.

- [3] 郭亨群,林赏心,王启明. 纳米 Si 嵌入 SiO₂ 薄膜的发光与非线性光学特性的应用 [J]. 半导体学报, 2006, 27 (2): 345-349.
- GUO H Q, LIN SH X, WANG Q M. Photoluminescence and application of nonlinear optical property of nc-Si-SiO₂ films [J]. *Chinese Journal of Semiconductors*, 2006, 27 (2): 345-349. (in Chinese)
- [4] 陈虎, 王加贤. Al³⁺ 对 Ge/Al-SiO₂ 薄膜光致发光的影响 [J]. 发光学报, 2012, 33(1): 32-35.
- CHEN H, WANG J X. Influence of Al³⁺ on the photoluminescence of Ge/Al-SiO₂ films [J]. *Chinese Journal of Luminescence*, 2012, 33(1): 32-35. (in Chinese)
- [5] DOWD A, ELLIMAN R G, SAMOC M, et al.. Nonlinear optical response of Ge nanocrystals in a silica matrix [J]. *Appl. Phys. Lett.*, 1999, 74 (2): 239-242.
- [6] JIE Y X, XIONG Y N, WEE A T S, et al.. Dynamics of optical nonlinearity of Ge nanocrystals in a silica matrix [J]. *Appl. Phys. Lett.*, 2000, 77: 3926-3928.
- [7] RAZZARI L, GNOLI A, RIGHINI M, et al.. Excited-state dynamics and nonlinear optical response of Ge nanocrystals embedded in silica matrix [J]. *Appl. Phys. Lett.*, 2006, 88: 181901-181903.
- [8] FURUKAWA S, MIYASATO T. Quantum size effects on the optical band gap of microcrystalline Si:H [J]. *Phys. Rev. B*, 1988, 338 (8): 5726-5729.
- [9] SHEIK B M, SAID A A, WEI T H, et al.. Sensitive measurement of optical nonlinearities using a single beam [J]. *IEEE J. Quant. Electron.*, 1990, 26(4): 760-769.
- [10] PRAKASH G V, CAZZANELLI M, GABURRO Z, et al.. Nonlinear optical properties of silicon nanocrystals grown by plasma-enhanced chemical vapor deposition [J]. *J. Appl. Phys.*, 2002, 91 (8): 4607-4610.
- [11] MARTINEZ A, HERNANDEZ S, PELLEGRI-NO P, et al.. Comparative study of the nonlinear optical properties of Si nanocrystals fabricated by e-beam evaporation, PECVD or LPCVD [J]. *Phys. Status Solidi. C8*, 2011, 8(3): 969-973.
- [12] WANG K, LONG H, FU M, et al.. Size-related third-order optical nonlinearities of Au nanoparticle arrays [J]. *Optics Express*, 2010, 18 (13): 13874-13879.
- [13] COLACE L, MASINI G, ASSANTO G, et al.. Efficient high-speed near-infrared Ge photodetectors integrated on Si substrates [J]. *Appl. Phys. Lett.*, 2000, 76(10): 1231-1233.
- [14] 成珏飞, 吴雪梅, 诸葛兰剑. 掺 Al 的 Ge₂SiO₂ 薄膜的结构和光致发光性质 [J]. 信息记录材料, 2004, 5(1): 54-57.
- CHENG J F, WU X M, ZHUGE L J. The microstructure and photoluminescence of Al-doped Ge-SiO₂ thin films [J]. *Information Recording Materials*, 2004, 5(1): 54-57. (in Chinese)
- [15] LAGATSKY A A, LEBURN C G, BROWN C T A, et al.. Ultrashort-pulse lasers passively mode locked by quantum-dot-based saturable absorbers [J]. *Prog. Quantum Electronics*, 2010, 34(1): 1-45.

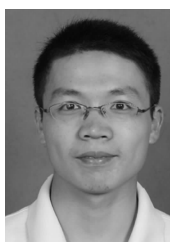
作者简介:



王加贤(1955—),男,福建泉州人,教授,1982年于福建师范大学获得学士学位,1999年于天津大学获得博士学位,主要从事激光技术与器件、半导体薄膜材料、非线性光学的研究。E-mail: wangjx@hqu.edu.cn



张培(1985—),男,河南滑县人,2008年于黄淮学院获得学士学位,2011年于华侨大学获得硕士学位,主要从事光电子材料与器件的研究。E-mail: zhangpei@hqu.edu.cn



林正怀(1986—),男,浙江温州人,硕士研究生,2010于绍兴文理学院获得学士学位,主要从事固体激光器件方面的研究。E-mail: linzh88@sohu.com



吴志军(1977—),男,福建泉州人,副教授,2000年,2006年于吉林大学分别获得学士、博士学位,主要从事光电子器件方面的研究。E-mail: zhijunwu@hqu.edu.cn